

V-9 粘土地山中の円形トンネル周辺の弾塑性問題について

正員 徳島大学工学部 小田英一

地表面よりかなり深い地表の地山が粘土のように内部摩擦角が零であり、粘着のみを有しているようなものであるとする。このような地山に初期応力として鉛直方向の圧力と水平方向の圧力が作用していてこの値が異なったとき、この二方向の圧力の大きさ及びこの地表に円形トンネルを掘削して支保工で支えられた支保工の剛性に応じて生ずる支保工土圧の大きさとのある関係によって、トンネル周辺近傍が塑性状態となり、その外周に弾性状態の領域が生ずることがある。このような問題を取扱うのを弾塑性問題と称し、トンネル周辺全域に塑性領域が生じ、塑性領域と塑性領域との境界（塑性境界と称することとする）がトンネルを包囲する場合の条件、及び塑性領域と弾性領域との応力分布及び塑性境界における両域の応力のつながりの関係について考察することとする。

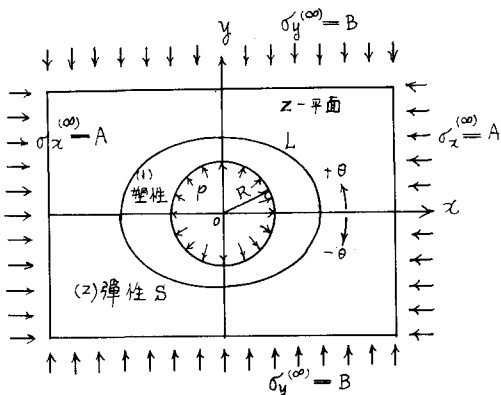


図-1

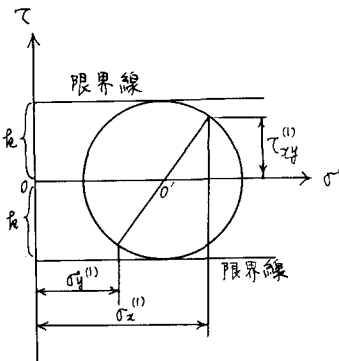


図-2

図-1 に示すように無限平面に半径 R のトンネル円孔が掘削され、支保工の支えられた土圧 P が作用している。トンネル中心 O を通り水平座標軸を x 、鉛直座標軸を y とする。地山荷重としては鉛直方向に B 、水平方向に A なる初期応力が作用しているとし、地山の粘着力を零とする。 x 、 y 軸と直交する方向には進歩せんじないものとする。いまトンネル周辺近くは塑性状態となり、その外方に弾性領域があり、塑性領域と弾性領域の境界 L がトンネル円孔を包囲するとする。塑性領域中の x 、 y 座標をとったときの x 方向、 y 方向の直応力をそれぞれ $\sigma_x^{(1)}$ 、 $\sigma_y^{(1)}$ とし、せん断応力を $\tau_{xy}^{(1)}$ とする。図-2 に示すように塑性領域においてはモールの応力円が y 軸に平行な限界線と切する。すなわち降伏条件式が成立する。また塑性領域の応力成分で極座標 r 、 θ をとったときの r 方向、 θ 方向の直応力をそれぞれ $\sigma_r^{(1)}$ 、 $\sigma_\theta^{(1)}$ とし、せん断応力を $\tau_{r\theta}^{(1)}$ とする。弾塑性境界 L は L_A Galin によって構成なることが証明されていから、弾性領域では z -平面の単位円盤の外に z -平面の L の外方を写像する。 $z = re^{i\theta}$ とし、 r 、 θ は z -平面での極座標である。弾性領域の写像函数は次式となる。

$$z = x + iy = w(s) = c \left(s + \frac{\beta}{s} \right) \quad \dots \dots \dots (1)$$

ただし $c = R \cdot \exp \left\{ \frac{1}{2k} \left(\frac{B+A}{2} - p - k \right) \right\}, \quad \beta = \frac{B-A}{2k}$ $\dots \dots \dots (2)$

である。弾塑性境界は上式において $\beta = 1$ としたとき、(1)式によつて求められ。弾性領域の工面での (s, θ) 軸に作用する応力成分で σ_θ , θ 軸に対する直応力をそれぞれ $\sigma_\theta^{(2)}$, $\sigma_p^{(2)}$ とし、せん断応力を $\tau_{\theta p}^{(2)}$ とする。しからば塑性領域、弾性領域の応力成分は次式となす。

$$\sigma_r^{(2)} = 2k \log \frac{r}{R} + p, \quad \sigma_\theta^{(2)} = 2k \log \frac{r}{R} + 2k + p, \quad \tau_{\theta p}^{(2)} = 0 \quad \dots \dots \dots (3)$$

$$\begin{aligned} \sigma_\theta^{(2)} &= 2k \log c - 2k \log R + (k+p) - 2k \log s + k \log \left\{ \left(s^2 + \frac{\beta^2}{s^2} \right) + 2\beta \cos 2\theta \right\} \\ &\quad + k \left[\frac{(s^4 - \beta^2)^2 - 4s^4\beta^2 \sin^2 2\theta}{(s^4 - \beta^2)^2 + 4s^4\beta^2 \sin^2 2\theta} - \frac{s^4 - \beta^2}{s^4 + \beta^2 - 2s^2\beta \cos 2\theta} + \frac{s^2 - \beta^2 s^2 + \beta s^4 \cos 2\theta - \beta \cos 2\theta}{s^4 + \beta^2 - 2s^2\beta \cos 2\theta} \right] \end{aligned} \quad \dots \dots \dots (4)$$

$$\begin{aligned} \sigma_p^{(2)} &= 2k \log c - 2k \log R + (k+p) - 2k \log s + k \log \left\{ \left(s^2 + \frac{\beta^2}{s^2} \right) + 2\beta \cos 2\theta \right\} \\ &\quad - k \left[\frac{(s^4 - \beta^2)^2 - 4s^4\beta^2 \sin^2 2\theta}{(s^4 - \beta^2)^2 + 4s^4\beta^2 \sin^2 2\theta} - \frac{s^4 - \beta^2}{s^4 + \beta^2 - 2s^2\beta \cos 2\theta} + \frac{s^2 - \beta^2 s^2 + \beta s^4 \cos 2\theta - \beta \cos 2\theta}{s^4 + \beta^2 - 2s^2\beta \cos 2\theta} \right] \end{aligned} \quad \dots \dots \dots (5)$$

$$\tau_{\theta p}^{(2)} = k \left[\frac{4(s^4 - \beta^2)s^2\beta \sin 2\theta}{(s^4 - \beta^2)^2 + 4s^4\beta^2 \sin^2 2\theta} - \frac{2s^2\beta \sin 2\theta}{s^4 + \beta^2 - 2s^2\beta \cos 2\theta} + \frac{\beta s^4 \sin 2\theta + \beta \sin 2\theta}{s^4 + \beta^2 - 2s^2\beta \cos 2\theta} \right] \quad \dots \dots \dots (6)$$

弾性領域における座標は $x = c(s + \frac{\beta}{s}) \cos \theta$, $y = c(s - \frac{\beta}{s}) \sin \theta$ によつて求められる。また弾塑性境界がトシネル円孔を取囲む条件は

$$|B-A| \leq 2k \left[1 - \exp \left\{ \frac{1}{2k} \left(p + k - \frac{B+A}{2} \right) \right\} \right] \quad \dots \dots \dots (7)$$

となる。

計算例として $R = 3m$, $k = 3 \text{ kg/cm}^2$, $B = 10 \text{ kg/cm}^2$, $A = 7.5 \text{ kg/cm}^2$ とすとし, $p = 0, 1, 2 \text{ kg/cm}^2$ に対して x 軸上の塑性領域及び弾性領域における応力分布を示めたものが図-3に示すものである。

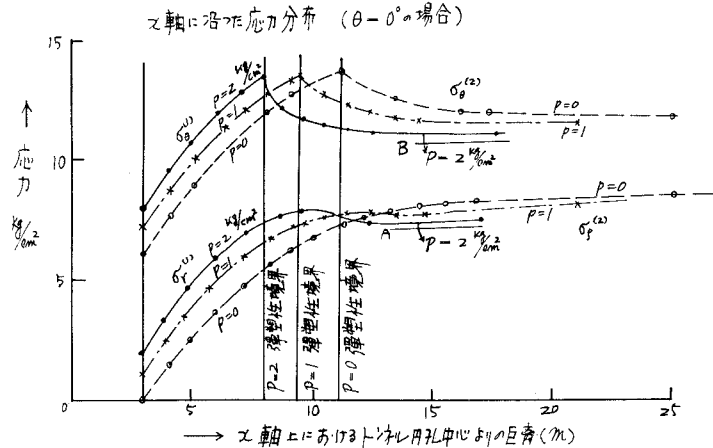


図-3